

1 はじめに 小口径円柱に作用する、波の進行方向全波力 ( $F_x$ ) をモリソン式を用いて算定する場合、通常は式中の抗力係数 ( $C_D$ )、質量係数 ( $C_M$ ) は、水深方向に一定として取り扱っている。しかし、波力算定精度の向上、およびモリソン式の妥当性を検討するには、円柱に作用する波力の水深方向分布特性を明らかにし、 $C_D$ 、 $C_M$  の水深方向変化特性についても検討する必要がある。このため、微小長さの局部円柱に作用する波力の測定を、静水面下 ( $z$ ) の異なる位置で行ない、それぞれの位置で  $C_D$ 、 $C_M$  を算出し、各種波動パラメータ (主に  $K \cdot C$  数、 $Re$  数) との関係を探る実験が、従来多く行なわれている。

図-1 は、これら実験結果の一例として、岩垣、石田の結果、Chakrabarti等の結果、および筆者らの結果を示したものである。又、図中には、一様振動流における *Sarpkaya*等の結果も記入している。*Chakrabarti*等は、波動場においては一様振動流中での結果と多少異なること、および、図中に示されている、 $C_D$ 、 $C_M$  と

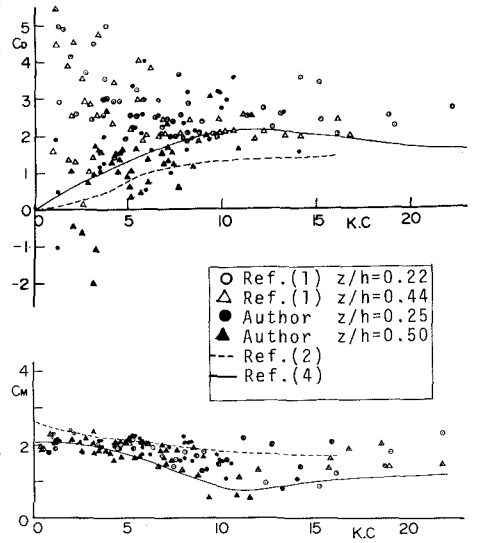


図-1  $C_D, C_M \sim K \cdot C$

$K \cdot C$  数との関係式を用いたモリソン式による全波力の計算値と実測値を比較した結果、その差は10%以内であったと報告している。岩垣、石田は、 $K \cdot C$  数と  $Re$  数を考慮した検討を報告している。又、筆者らの結果は、むしろ *Sarpkaya* 等の結果に近いことが認められるようである。しかし、これらの結果は、実験条件、方法、および、 $C_D$ 、 $C_M$  の算定方法の違い等を考慮してもそのバラツキが多く、今後十分な実験を行う必要がある。

本報告は、上記のことを目的として、まず、波力の水深方向分布特性を示すパラメーターの一つである、円柱に作用する全波力  $F_x$  合力作用点位置 ( $P_0$ ) の実測を試みたものである。

2 実験方法、 $P_0$  算定方法

実験は、長さ39.6m、幅0.6m、高さ0.8mの二次元造波水槽を用いて行なった。水深は30cm, 40cm, 50cm、波高Hは1cm~13cm、周期Tは0.7~2.0秒の波浪諸元を有する規則波を実験波として使用した。使用した円柱径Dは3cmと1.4cm (H=40cmの場合のみ) の二種類である。全波力  $F_x$ 、および全波力モーメント  $M_x$  の測定には、市販の三分力計を使用した。図-2に測定装置の概略、および座標系を示す。

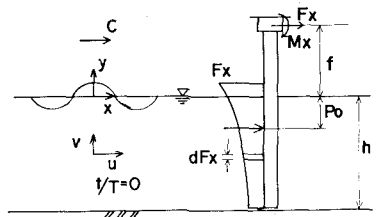


図-2 測定装置、座標系

$F_x$  合力作用点の静水面からの距離の実測値  $P_0$  は次式より求まる。

$$P_0(t) = \frac{M_x(t)}{F_x(t)} - f \quad (1) \quad f: \text{三分力計のモーメント測定点と静水面との距離}$$

波力算定式としてモリソン式を用いると、計算値による  $F_x$  合力作用点と静水面との距離  $P_C$  は次式で示される。

$$P_C(t) = \frac{\int_{-h}^0 C_D(t,y) \frac{\rho}{2} D \cdot u(t,y) |u(t,y)| dy + \int_{-h}^0 C_M(t,y) \frac{\rho}{4} \pi D^2 \dot{u}(t,y) dy}{\int_{-h}^0 C_D(t,y) \frac{\rho}{2} D \cdot u(t,y) |u(t,y)| dy + \int_{-h}^0 C_M(t,y) \frac{\rho}{4} \pi D^2 \dot{u}(t,y) dy} \quad (2)$$

式中  $\rho$ : 水の密度、 $u$ ,  $\dot{u}$ : 水平水粒子速度、加速度

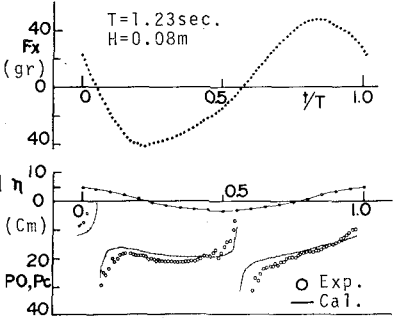


図 3 測定値および計算値例

u, ũ の算定式: ストークス波第3近似解

$C_D, C_M$  の周期内時間変化, 及び水深方向変化を無視すると.

$$PC(t) = \frac{C_D \int_{-h}^0 \frac{1}{2} \rho \cdot D \cdot u(t,y) |u(t,y)| dy + C_M \int_{-h}^0 \frac{1}{4} \rho \pi b^2 \dot{u}(t,y) |y| dy}{C_D \int_{-h}^0 \frac{1}{2} \rho \cdot D \cdot u(t,y) |u(t,y)| dy + C_M \int_{-h}^0 \frac{1}{4} \rho \pi b^2 \dot{u}(t,y) |y| dy} \quad (3)$$

### 3 実験結果および考察

図-3は、(1)式による  $F_x$  合力作用点の実測値  $P_0$  と、(3)式による計算値  $PC$  の周期内時間変化 ( $t/T$ ) の一例を示したものである。

図中には、水位および  $F_x$  実測値の  $\eta/h$  による変化も同時に記入している。(3)式中の  $C_D, C_M$  の値には、最少二乗法による方法を用いて決定した値を用いている。 $P_0$  と  $PC$  の時間変化傾向は大体一致していることが認められる。位相  $t/T$  が 0.05, 0.57 付近では、 $P_0, PC$  ととも極値をとる傾向が認められるが、これらの位相においては、図に示すように  $F_x$  が 0 に近づくと ( $M_x$  も同様) ために、測定誤差の影響、および数値積分精度等を考慮する必要がある。

図-4は、 $F_x$  の極大値が出現する位相での  $P_0$  の無次元値  $P_0/h$  と、水深  $h/L$  との関係を示したものである。

図-4(a)は、 $0 < t/T < 0.5$  の間に  $F_x$  の極大値が出現するものを(ケースa)、図-4(b)は、 $0.5 < t/T < 1.0$  の場合のものを示している。図-4(a)に示している曲線は、波動理論式として微小振幅波理論式を使用したモリソン式中の抵抗力項 ( $\int_{-h}^0 \frac{1}{2} \rho D u(t,y) |u(t,y)| dy$ ) が 0 となる位相 ( $t/T = 0.25, 0.75$ ) での計算値  $PC/(h+\eta)$  ( $\eta$  は 0 である) と、 $h/L$  の関係を示したものである。ケースaの位相では抵抗力項が大体 0 であり、図中に示している計算値と同様な傾向を実測値は示している。ケースbの場合は、ケースaに比べてバラツキが大きいことが認められる。図-5は、ケースa, bにおける実測値  $P_0$  と、(3)式による計算値  $PC$  との関係を水深別別示したものである。これらの図より、1)  $P_0$  と  $PC$  の誤差は水深  $h$  の 10% 以内であること、2) 水深  $h = 30cm, 50cm$  の場合では、ケースbの位相において実測値  $P_0$  の方が計算値  $PC$  より大きな値を示す傾向が認められる。

4 おわりに 以上は、水平水粒子速度  $u$  の水深方向分布の代表値として、r.m.s 値 ( $\sqrt{\int_{-h}^0 \rho C_D u(t,y)^2 dy} / (h+\eta_{0.0})$ ) を用いた  $K$  数、 $Re$  数による  $C_D, C_M$  の評価が可能とされている領域 ( $h/L < 0.5$ ) での、 $F_x$  合力作用点の実測を試みたものである。その結果、この領域では、 $F_x$  合力作用点は、 $C_D, C_M$  の水深方向変化を無視したモリソン式で大体算定できるようなものである。したがって、波力の水深方向分布もこの式を用いて大体算定できるものと思われる。しづし、より詳細な検討は、図-1に示されている部分円柱における  $C_D, C_M$  の結果と合わせて行う必要がある。又、揚力についても同様な実測、検討を行う予定である。

### 参考文献

- 1) 岩垣, 石田, 佐藤: 土木学会年誌 PP99-100, 1977.
- 2) Chakrabarti, et al: J. of ASCE, WWT, PP203-201, 197.
- 3) 林, 竹内: 土木学会, 海議 PP362-366, 1978.
- 4) Sarpkaya: Jour. of Applied Mechanics, Vol. 42, Series E, No. 1, PP. 32-39, 1975
- 5) Goda: Port and Harbour Tech. Res. Inst., NO. 8, PP1-14, 1964.
- 6) 中村: 大阪大学博士学位論文, PP1-297, 1977.

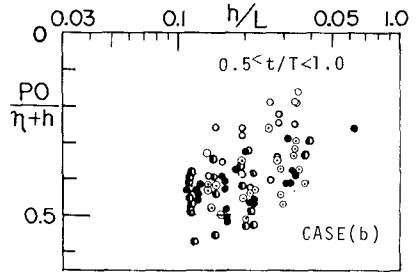
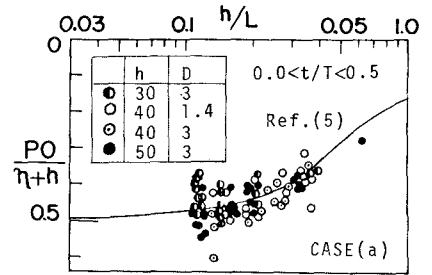


図-4  $P_0/h \sim h/L$

図-5  $PC/h \sim P_0/h$

